

КОЛЬОРОМЕТРІЯ ПРИ РОЗРОБЦІ ІНДИКАТОРНИХ

ХЕМОСОРБЕНТІВ АМІАКУ

Т.С. Бєньковська^{1,2}, О.С. Ватраль¹, Р.Є. Хома^{1,2},

Р.М. Длубовський², Л.Т. Осадчий²

¹Одеський національний університет імені І.І. Мечникова,

вул. Дворянська, 2, 65082, Одеса; email: rek@onu.edu.ua

²Фізико-хімічний інститут захисту навколошнього середовища і людини

МОН України та НАН України, вул. Преображенська 3, 65082, Одеса

Розроблено імпрегновані волокнисті хемосорбенти основних газів з візуальною ідентифікацією моменту “спрацьовування” динамічної поглинальної ємності (IBXC-I), одержані шляхом просочування волокнистих носіїв водними розчинами багатоосновних кислот, до складу яких додаються кислотно-основні індикатори (Ind) з інтервалом переходу забарвлення у межах pH 3,0 ÷ 11,8. “Спрацьовування” динамічної поглинальної ємності вказаних хемосорбентів при поглинанні основного газу (аміаку) можливо візуально визначити за зміною забарвлення протигазового елементу (ПГЕ) з оберненої до обличчя сторони під час “проскоку” сорбтиву.

Однак, візуальна індикація “спрацьовування” динамічної поглинальної ємності несе лише якісну характеристику. Аналітичний сигнал, отриманий шляхом візуального детектування зміни забарвлення зразків IBXC-I, дозволяє лише зафіксувати момент “проскоку” токсичного хемосорбтиву (NH_3). Порівняння індикаторних систем за інтенсивністю зміни забарвлення з наступним вибором більш придатних для застосування на практиці можна провести лише на якісному рівні.

Кольорові характеристики зразків IBXC-I (початкових та “спрацьованих” по NH_3) оцінювали методом хімічної кольорометрії. Усереднені значення R , G , B характеристик досліджуваних зразків визначали за допомогою on line програми IMGonline. Використовували наступні кольорометричні функції: X , Y , Z (координати кольору в системі CIEXYZ), L , A , B (координати кольору в рівноконтрастній системі CIELAB), насиченість кольору (S), кольоровий тон (T), повну кольорову відмінність (ΔE_{76}), жовтизну (G); відносну білизну зразків (W) та інтенсивність жовтого відтінку (K_y). В якості аналітичних сигналів “спрацьовування” зразків IBXC-I застосовували також ефективні поглинання за червоним (A_R), зеленим (A_G) та синім (A_B), величини яких розраховували за формулами:

$$A_R = -\lg(R_r/R_0); \quad (1)$$

$$A_G = -\lg(G_r/G_0); \quad (2)$$

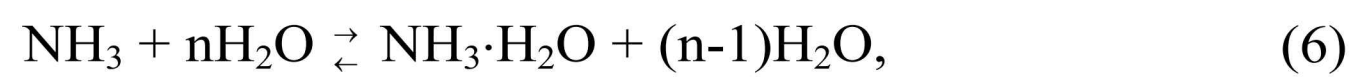
$$A_B = -\lg(B_r/B_0), \quad (3)$$

де R_0 , G_0 , B_0 – координати кольору початкових зразків; R_r , G_r , B_r – координати кольору “спрацьованих” зразків. Величини загального поглинання (A_T) та кольорового співвідношення (CR) визначали за формулами:

$$A_T = A_R + A_G + A_B; \quad (4)$$

$$CR = R_r/R_0 + G_r/G_0 + B_r/B_0 \quad (5)$$

IBXC-OEDPA-Ind



Трифенілметанові барвники

$$K_{y0} = -23,378 \cdot \text{pH}_1 + 171,67; \quad R^2 = 0,9828 \quad (\text{крім BPB і XO}), \quad (9)$$

$$Z_r = 15,536 \cdot \text{pH}_2 - 103,89; \quad R^2 = 0,9360 \quad (\text{крім BKG і XO}), \quad (10)$$

$$\Delta L = -4,4516 \cdot \text{pK}_a + 33,839; \quad R^2 = 0,9025 \quad (\text{крім BPR і XO}). \quad (11)$$

Азобарвники

$$R_0 = -20,165 \cdot \text{pH}_1 + 298,48; \quad R^2 = 0,9615 \quad (\text{крім CoR}), \quad (12)$$

$$G_0 = -8,252 \cdot \text{pH}_1 + 157,71; \quad R^2 = 0,8892 \quad (\text{крім CoR}), \quad (13)$$

$$L_0 = -4,5119 \cdot \text{pH}_1 + 80,259; \quad R^2 = 0,9987 \quad (\text{крім CoR}). \quad (14)$$

IBXC-CA-Ind

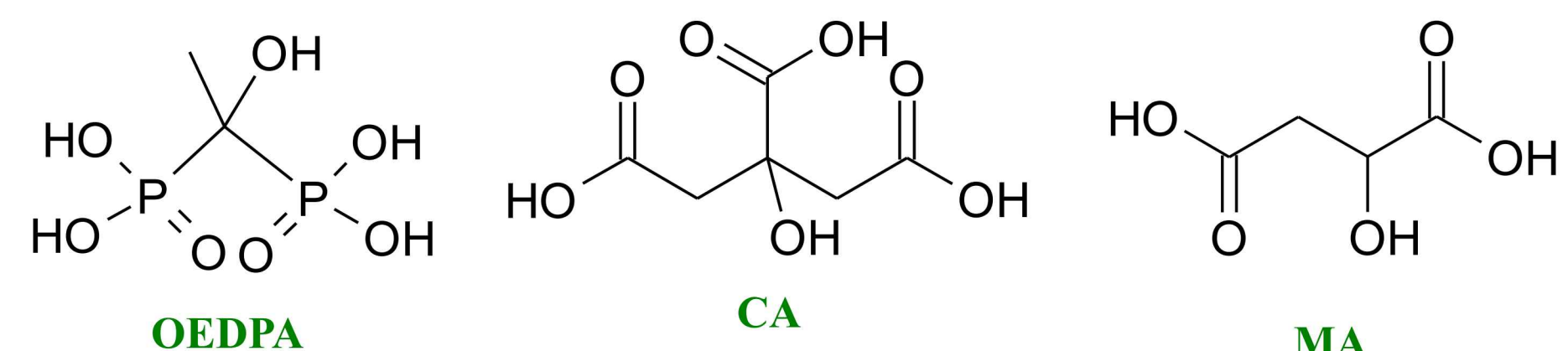


Трифенілметанові барвники

$$K_{y0} = 11,166 \cdot \text{pK}_a + 4,2525; \quad R^2 = 0,9694 \quad (\text{крім BCG}). \quad (16)$$

$$y_r = 0,028 \cdot \text{pK}_a + 0,1507; \quad R^2 = 0,9848 \quad (\text{крім BPB}), \quad (17)$$

де pH_1 , pH_2 – значення pH нижньої та верхньої (відповідно) границі переходу забарвлення Ind; $\Delta S = S_r - S_0$



Забарвлення зразків IBXC-I

Ind	Acid	Вихідний			“Спрацьований”		
		OEDPA	CA	MA	OEDPA	CA	MA
Azolitmine	Az						
Lacmoid	LA						
Congo red	CoR						
Methyl Orange	MO						
Methyl Red	MR						
Tropaeolin OOO	TrOOO						
Bromocresol green	BCG						
Bromoxylenol blue	BXB						
Bromophenol blue	BPB						
Bromophenol red	BPR						
Thymol blue	TB						
Xylenol orange	XO						
Phenol red	PR						

IBXC-MA-Ind

Трифенілметанові барвники

$$\Delta A = -9,7646 \cdot \text{pK}_a + 81,967; \quad R^2 = 0,904 \quad (\text{крім TB, PR}) \quad (18)$$

$$\Delta A = -10,466 \cdot \text{pH}_1 + 76,556; \quad R^2 = 0,9811 \quad (\text{крім TB, PR}) \quad (19)$$

$$K_{g1} = -34,524 \cdot \text{pH}_2 + 333,86; \quad R^2 = 0,8728 \quad (\text{крім BKG, XO}) \quad (20)$$

$$x_2 = 13,12 \cdot \text{pH}_2 - 73,91; \quad R^2 = 0,8367 \quad (\text{крім BKG, XO}) \quad (21)$$

$$y_2 = 11,306 \cdot \text{pH}_2 - 62,583; \quad R^2 = 0,8784 \quad (\text{крім BKG, XO}) \quad (22)$$

Азобарвники

$$Z_1 = 9,6084 \cdot \text{pK}_a - 17,251; \quad R^2 = 0,9530 \quad (\text{крім LA}) \quad (23)$$

$$y_1 = -0,0671 \cdot \text{pK}_a + 0,7403; \quad R^2 = 0,9919 \quad (\text{крім CR}) \quad (24)$$

$$z_1 = -0,0168 \cdot \text{pK}_a + 0,3889; \quad R^2 = 0,9098 \quad (\text{крім MR}) \quad (25)$$

В якості аналітичного сигналу “спрацьовування” зразків IBXC-I нами вибрана величина загального поглинання, абсолютне значення якої для IBXC-OEDPA-Ind, IBXC-CA-Ind та IBXC-MA-Ind зменшується у рядах індикаторів, відповідно:

$\text{XO} > \text{MO} > \text{TrOOO} > \text{BPR} > \text{PR} > \text{LA} > \text{TB} > \text{CoR} > \text{BCG} > \text{MR} > \text{BPB} > \text{BKB}$
 $\text{MO} > \text{TrOOO} > \text{MR} > \text{CoR} > \text{PR} > \text{BPR} > \text{TB} > \text{BKB} > \text{XO} > \text{AZ} > \text{LA} > \text{BCG} > \text{BPB}$
 $\text{PR} > \text{LA} > \text{TB} > \text{TrOOO} > \text{BKB} > \text{MR} > \text{AZ} > \text{XO} > \text{MO} > \text{BPR} > \text{BPB} > \text{BKB} > \text{CoR}$.

Таким чином, виявлено специфіку зміни кольорометричних функцій індикаторних імпрегнованих волокнистих хемосорбентів під час поглинання ними NH_3 . Для більш глибоких висновків необхідне проведення додаткового дослідження поведінки в модельних системах $\text{NH}_3 - \text{Acid} - \text{Ind} - \text{H}_2\text{O}$, що буде предметом майбутніх наших досліджень.